

Original Article

Differential Proteomics analysis (2D) of prostate cancer cell lines under the treatment of natural antioxidant Oleuropein

Zahra Rakhshidan¹ , Mohammad Zaefizadeh^{2*} , Bahare Pahlavan³ 

¹Department of Biology, Faculty of Sciences, Ahar Branch, Islamic Azad University, Ahar, Iran

²Department of Biology, Faculty of Sciences, Ardabil Branch, Islamic Azad University, Ardabil, Iran

³Departement of Surgery, Faculty of Medicine, Iran University of Medical Sciences, Tehran, Iran

*Corresponding author; E-mail: mzaefi@gmail.com, mzaefi@iauardabil.com

Received: 14 November 2017 Accepted: 25 February 2018 First Published online: 18 November 2019

Med J Tabriz Uni Med Sciences Health Services. 2019 December-2020 January; 41(5):56-64

Abstract

Background: Prostate cancer is the most common cancer in men. Identification of cancer nature, progress and the mechanism of its inhibition have been always scientific important issues. The aim of this study was to analyze the effect of olives Oleuropein particles on protein expression levels in prostate cancer cell line, LNCap.

Methods: Survival test (MTT) has been applied in 8 concentrations of Oleuropein: 19, 39, 78, 156, 312, 625, 1250, and 2500 in LNCap cell line, as well differential comparative proteomics analyses has been performed. Two dimensional electrophoresis results in relation to differential proteins have been identified by MS- MALDI-TOF-TOF approach, as their aligns have been recognized in Mascot Database.

Results: Survival test demonstrates that olive Oleuropein controled LNCap cells growth and increased their roundness. LNCap cells have most been controlled in 625ppm concentration. *GSTP1* and *DMNT1*/proteins have been identified as differential proteins in Oleuropein treated samples. Where comparing to controls, *DMNT1* had been downregulated. On the other hand *GSTP1* had been upregulated in 625 ppm Oleuropein treated samples.

Conclusion: Oleuropein may be effective for inhibition of prostate cancer cells in LNCap cell line, by affecting protein expression, antioxidant genes expression, some transcriptional factors expression in relation with cells leading toward apoptosis direction, and metastasis activity reduction.

Keyword: Prostate Cancer, Oleuropein, Proteomics, Differential Protein Expression

How to cite this article: Rakhshidan Z, Zaefizadeh M, Pahlavan B. [Differential Proteomics analysis (2D) of prostate cancer cell lines under the treatment of natural antioxidant Oleuropein]. Med J Tabriz Uni Med Sciences Health Services. 2019 December-2020 January; 41(5):56-64. Persian.

مقاله پژوهشی

آنالیز پروتئومیکس افتراقی (دوبعدی) رده سلولی سرطانی پروستات تحت تاثیر آنتیاکسیدان طبیعی اولئوروپین زیتون

زهرا رخشیدن^۱ ، محمد ضعیفی‌زاده^{۲*} ، بهاره پهلوان^۳ 

* گروه زیست‌شناسی، دانشگاه آزاد اسلامی، اهر، ایران
** گروه زیست‌شناسی، دانشگاه آزاد اسلامی، اردبیل، اردبیل، ایران

^۳ گروه جراحی، دانشگاه علوم پزشکی ایران، تهران، ایران
نویسنده مسؤول: ایمیل: mzaefi@iauardabil.com و mzaefi@gmail.com

دریافت: ۱۳۹۶/۸/۲۲ پذیرش: ۱۳۹۶/۱۲/۶ انتشار برخط: ۱۳۹۸/۸/۲۷
محله پزشکی دانشگاه علوم پزشکی و خدمات بهداشتی-درمانی تبریز. آذر و دی ۱۳۹۸: ۴۱(۵): ۵۶-۶۴

چکیده

زمینه: سرطان پروستات شایع‌ترین سرطان بدخیم در مردان است. شناخت ماهیت و روند سرطان و مکانیزم‌های مهار آن همواره از موضوعات مهم و مطرح در علم می‌باشد. هدف از این پژوهش بررسی مکانیزم اثر اولئوروپین موجود در عصاره زیتون بر روی میزان پروتئین‌های رده سلولی سرطانی پروستات می‌باشد.

روش کار: آزمون زنده مانی (MTT) در سطح اولئوروپین ppm ۲۵۰۰ و ۱۲۵۰ و ۶۲۵ و ۳۹۲ و ۱۵۶ در رده سلولی LNCap در قالب طرح CRD اعمال و آنالیز پروتئومیکس مقایسه‌ای افتراقی انجام شد. نتایج الکتروفورز دو بعدی برای پروتئین‌های افتراقی از طریق MS-MALDI-TOF-TOF و Align آن‌ها در Mascot Database مورد شناسایی قرار گرفتند.

یافته‌ها: نتایج آزمون زنده مانی نشان می‌دهد اولئوروپین زیتون می‌تواند رشد سلول‌های سرطانی LNCap را کنترل و میزان گردش‌گی سلول‌ها را افزایش دهد. بیشترین میزان این کنترل در غلاظت ppm ۶۲۵ بوده است که در این ذی‌بیشترین القای اپاپتوز اتفاق افتاده بود. پروتئین‌های DMNT1 و GSTP1 به عنوان پروتئین‌های افتراقی در اثر تیمار با اولئوروپین نسبت به شاهد شناسایی شدند، بهطوری که با اعمال تیمار ۶۲۵ppm اولئوروپین پروتئین DNMT1 به نمونه شاهد کاهش بیان (Up Regulate) و افزایش بیان (Down Regulate) داشت.

نتیجه‌گیری: اولئوروپین از طریق اعمال تغییر بر بیان پروتئین‌ها، افزایش بیان ژن‌های آنتیاکسیدان، بیان برخی فاکتورهای رونویسی، هدایت سلول‌ها به مسیر اپاپتوز و کاهش فعالیت‌های متاستازی، در مهار سلول‌های سرطانی پروستات رده LNCap موثر بوده است.

کلید واژه‌ها: سرطان پروستات، اولئوروپین، پروتئومیکس، پروتئین‌های افتراقی.

نحوه استناد به این مقاله: رخشیدن ز، ضعیفی‌زاده م، پهلوان ب. آنالیز پروتئومیکس افتراقی (دوبعدی) رده سلولی سرطانی پروستات تحت تاثیر آنتیاکسیدان طبیعی اولئوروپین زیتون. مجله پزشکی دانشگاه علوم پزشکی و خدمات بهداشتی-درمانی تبریز. ۱۳۹۸؛ ۴۱(۵): ۵۶-۶۴.

حق تأثیف برای مؤلفان محفوظ است.

این مقاله با دسترسی آزاد توسط دانشگاه علوم پزشکی و خدمات بهداشتی-درمانی تبریز کامنتر (http://creativecommons.org/licenses/by/4.0) منتشر شده که طبق مفاد آن هرگونه استفاده تنها در صورتی مجاز است که به اثر اصلی به نحو مقتضی استناد و ارجاع داده شده باشد.

مقدمه

حفظات از پوست می‌باشد. این ماده یک عامل قادر تمند آنتی اکسیدان و ضد رگزایی می‌باشد، که مستقیماً از طریق مختلف ساختن رشته‌های اکتین در سلول‌ها عمل می‌کند؛ بنابراین به عنوان یک ترکیب قوی ضد سرطان می‌باشد. اولئورپین از تکثیر و پخش رشته‌های توموری پیشرفت‌هه در روش واکنش به مقدار دارو جلوگیری می‌کند (۴). این ماده یک ترکیب غیرسمی با خواص مفید متعدد می‌باشد، جالب توجه این که اولئورپین رشد، تحرک و تهاجم سلولی را مهار می‌کند. هم‌چنین که باعث گرد شدن سلول می‌شود، پدیده‌ای که به اختلال اسکلت سلولی اکتین مرتبط شده است (۲). تکمیل پروژه زنوم انسانی سبب جهشی در استفاده از فن‌آوری‌های زنومی و پروتئومی برای شناسایی مارکرها به منظور تشخیص زود هنگام سرطان با هدف مولکولی شده است. پروتئومیکس عبارت از مطالعه و بررسی پروتئوم موجود زنده در مقایس زیاد می‌باشد. بر عکس زنوم، پروتئوم یک مجموعه‌ی پویا از پروتئین‌های است که نشان دهنده برنامه‌ی ژنتیکی ذاتی سلول و تاثیر فوری محیط می‌باشد (۵). بنابراین پروتئوم نمایش واقعی تری از وضعیت بیولوژیکی سلول را در مقایسه با زنوم فراهم می‌کند، پس پروتئوم بیشتر از زنوم برای ارزیابی حضور بیماری، پیشرفت بیماری و پاسخ به درمان مفید است (۶). پروتئومیکس یک روش علمی برای سنجش همه انواع پروتئین در یک سلول یا بافت می‌باشد (۷). در طول ترانسفورماتیون یک سلول به یک سلول سرطانی تغییرات مجزایی در سطح پروتئین اتفاق می‌افتد این تغییرات شامل تغییر در بیان، دیفرانسیل اصلاح پروتئین، تغییر در فعالیت‌های خاص و لوکالیزه شدن نابجا می‌باشد. محققان برای شناسایی و درک این تغییرات مطالعات پروتئومیکس سرطان را پیشنهاد کرده‌اند (۸).

از آن جایی که افراد مختلف دارای اطلاعات ژنتیکی متفاوتی هستند، لذا بیان پروتئینی مختلفی خواهد داشت. از این رو یکی از کاربردهای پروتئومیکس این است که با تعیین پروتئوم هر شخص، بتوان داروی اختصاصی تری برای درمان مؤثر هر فرد طراحی کرد (۹). کشف بیومارکرهای نوین برای تشخیص سرطان پروتستات به تعیین بدخیم بودن سرطان پروتستات در معاینات بعد از درمان و پیش‌بینی نتایج پس از درمان‌های اختصاصی، کمک کننده است. از آن جا که اغلب سرطان‌های پروتستات ناشی از ترانسفورماتیون بدخیم سلول‌های ترشحی تمايز یافته می‌باشند، اپیتلیوم پروتستات می‌تواند در گسترش بیماری نوع بدخیم و خوش خیم دخالت داشته باشد. سرطان پروتستات در مراحل اولیه خود چندین علامت دارند. با این حال، زمانی که اندازه‌ی آن‌ها به طور قابل توجهی افزایش یافتد و به مراحل پیشرفت‌های رسانید، روش‌های درمانی مؤثر اندکی در دسترس هست. این وضعیت نامطلوب، ضرورت استفاده از رویکردهای پروتئوم برای یافتن بیومارکرهای جدید به ویژه در

سرطان پروتستات یکی از شایع‌ترین سرطان‌های تشخیص داده شده در مردان است. از نظر تعداد موارد تشخیصی دومین و ششمین رتبه منجر به مرگ را در بین سرطان‌های مردان دارد. بیش از نیمی از موارد و مرگ‌ها در کشورهای بیش تر توسعه یافته اتفاق می‌افتد (۱). عوامل متعددی خطر ابتلا به این بیماری را افزایش می‌دهند. این فاکتورها شامل افزایش سن، نژاد و وراثت می‌باشد. همچنین فاکتورهای محیطی از قبیل رژیم غذایی و التهاب، و نیز تغییرات جغرافیایی در پاتوژنی سرطان پروتستات نقش دارند. بسیاری از فاکتورهای شیمی درمانی مانند الکسین، فلوتامید و نیلاترون به صورت گستردگی در درمان این بیماری مورد استفاده قرار می‌گیرند. با این حال، عوارض جانبی نامطلوب مانند بی اختیاری ادرار و مشکلات جنسی در سرطان پروتستات می‌تواند میزان سودمندی شیمی درمانی را کاهش دهد (۱، ۲). لذا جستجو برای یافتن ترکیباتی با عوارض جانبی کم یا بدون عوارض جانبی که از پیشرفت سرطان جلوگیری می‌کند و محافظت در برابر اثرات بیولوژیکی ناشی از عوامل شیمی درمانی در مقایسه با عواملی که در حال حاضر مورد استفاده است یکی از بزرگ‌ترین دغدغه‌های داشمندان است. مطالعات اخیر نشان داده‌اند که مکمل‌های غذایی، مانند ویتامین E و ویتامین D، سویا، چای سبز، زردچوبه، سبزیجات و میوه‌جات و یا عصاره غنی از ترکیبات پلی‌فنولیک، نقش مهمی در پیشگیری از سرطان پروتستات بازی می‌کنند (۲). این بیماری با سبک زندگی غربی وابسته به یک رژیم غذایی حاوی چربی بالا، گوشت قرمز و فراورده‌های لبنی در ارتباط است (۳). هم‌چنین در برخی مطالعات دخالت کلسیم (۳) و اسیدالفالینولیک (۴) در این مورد به اثبات رسیده است. در مقابل، اثرات محافظتی برخی رژیم‌های غذایی مانند کسانی که در آسیا به مقدار زیادی دانه‌های سویا که حاوی استروژن گیاهی است مصرف می‌کنند نسبت داده شده است که اثر پیشگیرانه بر روی سرطان پروتستات دارند (۵). هم‌چنین نشان داده شده است مصرف لیکوپین از محصولات گوجه‌فرنگی به عنوان یک آنتی اکسیدان به منظور کاهش خطر ابتلا به سرطان پروتستات موثر است (۶). در بعضی از مطالعات دیگر اثر پیشگیرانه و درمانی آنتی اکسیدان‌های پلی‌فنلی چای سبز شامل کاتچین و ابی کاتچین بر روی سرطان پروتستات نشان داده شده است (۷) و نهایتاً رژیم غذایی حاوی سلنیوم و ویتامین E در دست بررسی می‌باشد که هر دو ماده آنتی اکسیدان هستند و سبب افزایش سیستم ایمنی بدن و القاء آپویتوز در سلول‌های سرطانی می‌شوند (۸). اولئورپین ترکیبی با فرمول $C_{25}H_{23}O_{13}$ و وزن مولکولی ۵۴۰ (واحد) دارای خواص بیولوژیک آنتی اکسیدانی بوده و قابلیت مهار کردن رادیکال آزاد را دارا می‌باشد. اولئورپین چندین خاصیت دارویی شامل خاصیت‌های آنتی اکسیدانی، ضد التهابی، آنتی آدروژنیک، ضد سرطان، ضد میکروب، ضد ویروس، ضد پیری و

نمونه‌ها با خط رگرسیونی و ضریب تبیین (R^2) و مقدار اولیه استاندارد تعیین گردید.

استخراج پروتئین: ۷۵۰ میکرولیتر بافر استخراج پروتئین به ازای ۱ میلیون سلول اضافه شد. پس از هموژنیزه کردن نمونه و قرار دادن آن به مدت ۲۵ الی ۶۰ دقیقه در اولتراسونیک در دمای ۴ درجه سانتی گراد، سانتریفیوژ به مدت ۱۰ دقیقه با دور ۱۰۰۰۰ rpm و دمای ۴ درجه سانتی گراد انجام شد. مایع رویی حاوی پروتئین‌ها به میکروتیوب جدید انتقال داده شد.

الکتروفورز تک بعدی SDS-PAGE: محلول‌ها و بافرهای لازم شامل محلول استوک آکریل آمید، بافر ژل پائین، بافر ژل بالا، بافر الکترود، بافر نمونه (۵X)، پرسولفات آمونیوم ۱۰ درصد و TEMED ۱۰ درصد می‌باشد. برای انجام الکتروفورز قالب ژل به تانک الکتروفورز متصل و ولتاژ در نیم ساعت اول بر روی ۵۰ و در بقیه زمان الکتروفورز متصل و ولتاژ در نیم ساعت اول بر روی ۷۰ ولت تنظیم شد.

یک حجم بافر نمونه ۵X به چهار حجم نمونه جهت آماده‌سازی اضافه شده ۱۵ میکرولیتر از هر نمونه دورن چاهک‌ها ریخته شد. برای رنگ‌آمیزی ژل با کوماسی آبی R-250 مورد استفاده قرار گرفت.

الکتروفورز دوبعدی: برای تهیه ژل در بعد اول یا ایزوالکتریک فوکوسینگ (IEF) از ژلهای نواری (IPG) دارای طول ۱۸ سانتی‌متر با رنج pH در محلوده بین ۳-۱۰ استفاده شد. برای شروع الکتروفورز دوبعدی آبدهی ژلهای نواری خشک بر مبنای ۱۰۰۰ میکروگرم در استریپ در بافر آبدهی (اوره، بروموفنل‌بلو، آمغولیت، DTT، CHAPS)، و در مجموع به میزان ۳۵۰ میکرولیتر بافر آبدهی (Rehydration Buffer) صورت گرفت. ایزوالکتروفوکوسینگ با استفاده از دستگاه EttanIPGphar 3 Amersham IEF برای Gehealthcare دستگاه نواری ۱۸ سانتی‌متری در دمای ۲۰ درجه سانتی گراد انجام شد. برای الکتروفورز در بعد دوم جهت متعادل‌سازی استریپ‌ها، نوارها در محلول متعادل کننده SDS-PAGE طی دو مرحله قرار داده شد: مرحله اول متعادل‌سازی به مدت ۲۰ دقیقه در بافر تریس (W/V)، ۰/۰۵ مولار با pH ۸/۸ و حاوی ۴ SDS درصد (W/V) و اوره ۶ مولار، دی‌تیوتیریتول (DTT) یک درصد (W/V) و گلیسرول ۳۰ درصد (W/V) و مرحله بعدی متعادل‌سازی به مدت ۲۰ دقیقه دیگر در همان محلول که حاوی یدواستامید ۵ درصد (W/V) به جای DTT. پس از این مرحله و قبل از استفاده از هر یک از دو محلول فوق برموفنل‌بلو جهت ایجاد رنگ آبی اضافه گردید. در نهایت بافرهای متعادل کننده جهت متعادل‌سازی نوارهای IEF استفاده شدند. نوار IEF که در بافر متعادل کننده به تعادل رسیده بود بر روی ژل متراکم کننده قرار داده شد و پس از برقراری جریان، الکتروفورز در ولتاژ ثابت انجام گردید. ولتاژ در نیم ساعت اول ۱۰۰ و در بقیه زمان الکتروفورز ۷۰ ولت بود. بعد

مراحل اولیه بدینهیمی و نیز درک مکانیسم‌های مولکولی پیشرفت تومور را خاطرنشان می‌سازد (۱۰).

با توجه به این که محصول برخی زن‌ها می‌تواند در مهار یا کتلول سرطان‌ها نقش داشته باشد و وجود آنتی‌اکسیدان‌ها به عنوان یک محرك در بیان برخی زن‌ها مطرح گردیده است (۱۱)، در مطالعه حاضر بر روی ترکیب گیاهی و آنتی‌اکسیدانی اولئوروپین تمرکز گردید که این ترکیب در گونه‌های مربوط به خانواده زیتون یافته می‌شود. هدف از این پژوهش، مطالعه آنالیز پروتئومیکس افتراقی سلول‌های سرطانی تحت تاثیر آنتی‌اکسیدان طبیعی اولئوروپین در رده سلولی سرطانی پروستات (LNcap) می‌باشد.

روش کار

در این مطالعه حاضر از رده سلولی LNcap تهیه شده از انسنتیو پاستور استفاده گردید. این سلول‌ها از نوع Adherent می‌باشد و در موقع کشت دادن به کف فلاسک چسبیده و رشد می‌کند. این سلول‌ها را می‌توان در محیط کشت RPMI1640 که FBS ۱٪ می‌باشد کشت داد و هر دو الی سه روز یکبار حاوی ۱۰٪ FBS می‌باشد کشت داد. سلول‌های LNcap بعد از دفیریت محیط کشت آن را تعویض نمود. سلول‌های حاوی کردن در بن‌ماری ۳۷ درجه سانتی گراد، در فلاسک‌های حاوی محیط کشت RPMI 1640 حاوی ۱۰ درصد FBS و ۱ درصد پنی‌سیلین استریپو‌مایسین در انکوباتور با رطوبت ۹۰ و دمای ۳۷ درجه سانتی گراد به همراه ۵ درصد دی‌اکسید کربن کشت داده شد. برای ارزیابی میزان تکثیر از روش ۴,5-Dimethylthiazol-2-(3-(4,5-Diphenyltetrazolium MTT Bromide) ۲,5-Diphenyltetrazolium MTT Bromide) پس از ۲۴ ساعت تیمار با ۹ غلاظت مختلف عصاره الثوروپین (۱۹، ۳۹، ۷۸، ۱۵۶، ۳۱۲، ۶۲۵، ۲۵۰۰، ۱۲۵۰) ppm، محیط داخل هر چاهک خالی و مجدداً به هر چاهک ۱۰ μ l محیط بدون FBS به همراه ۲۰ μ l محلول MTT (۵ میلی‌گرم MTT دریک میلی‌لیتر PBS با pH=۷/۲) اضافه شده به مدت ۳-۲ ساعت انکوبه شد. سپس محیط داخل چاهک خالی شده و به هر چاهک ۲۰۰ میکرولیتر DMSO اضافه شده به مدت ۱۰ دقیقه تکان داده شد تا فورمازون تولید شده توسط سلول‌های زنده در DMSO کاملاً حل شود. OD نمونه در ۵۴۰ نانومتر اندازه گیری شد.

روش تهیه اولئوروپین: جهت استاندارد سازی مقدار ۰/۰۰۰۱ mg KBr و پنج استاندارد داخلي با غلاظت‌های مختلف (۱۰۰، ۱۰۰ ppm و ۵/۱۲ و ۲۵/۶) در درجه حرارت محیط و با کمک دستگاه پرسکننده قرص‌ها تهیه شده و در طیف‌های بین ۶۰۰-۴۰۰۰ نانومتر توسط دستگاه FTIR خوانده شدند. طیف‌های به دست آمده از نمونه استاندارد با پیک‌های اولئوروپین حاصل از FTIR مقایسه و عدد مربوط به هر پیک تأیید و تعیین و نمودار رگرسیونی برای هر یک از طیف‌ها ترسیم شد. مقادیر اولئوروپین موجود در

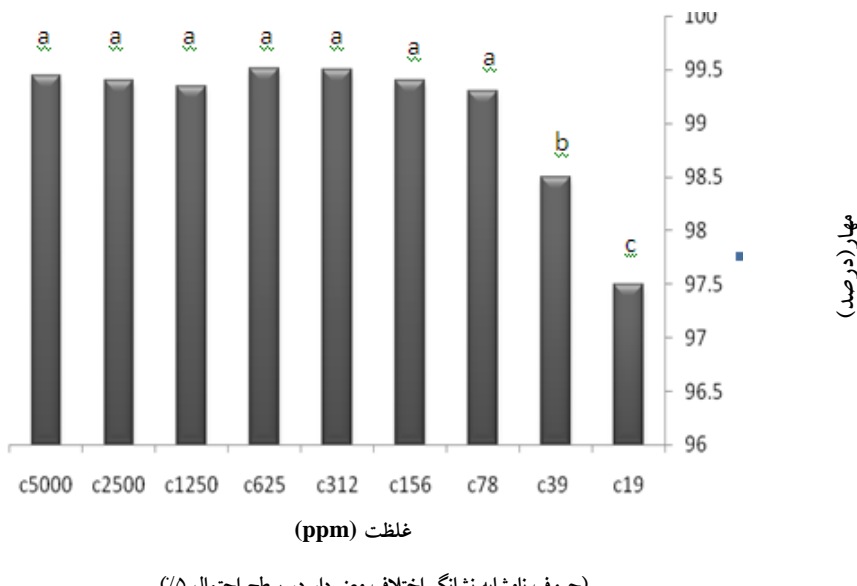
اولئوروپین اختلاف معنی‌داری ($P\text{value} \leq 0.001$) وجود دارد. بدین معنی که غلظت‌های اولئوروپین از لحاظ کنترل رشد سلول‌های سرطانی LNCap متفاوت عمل کردند. مقایسه‌ی میانگین میزان کنترل رشد (پس از ۲۴ ساعت) توسط غلظت‌های اولئوروپین به روشن دانکن در سطح احتمال ۵ درصد (شکل ۱) نشان داد که بیشترین کنترل سلول‌های سرطانی زمانی اتفاق می‌افتد که میزان غلظت به کار رفته اولئوروپین $625\mu\text{g}/\text{ml}$ بوده باشد. هرچند که تفاوت آماری با غلظت‌های $2500\mu\text{g}/\text{ml}$, $312\mu\text{g}/\text{ml}$, $39\mu\text{g}/\text{ml}$ و $156\mu\text{g}/\text{ml}$ ندارد. یعنی در این سطح کنترل افزایش غلظت تا سطح ۸ برابر معنی‌دار نبوده است. غلظت‌های ۱۹ و $39\text{ }\mu\text{g}/\text{ml}$ در میلی‌لیتر حداقل کنترل را بر روی رشد سلول‌های سرطانی LNCap داشته‌اند. غلظت $19\text{ }\mu\text{g}/\text{ml}$ در میلی‌لیتر در گروه C و غلظت $39\text{ }\mu\text{g}/\text{ml}$ در گروه b و بقیه غلظت‌ها در گروه a قرار می‌گیرند. نکته قابل توجه این‌که حتی اعمال حداقل غلظت اولئوروپین یعنی $19\mu\text{g}/\text{ml}$ در حدود ۹۸٪ کنترل بر روی سلول‌های سرطانی LNCap نشان داده است که این کنترل بسیار اهمیت دارد.

از اتمام الکتروفورز، ژل از قالب شیشه‌ای جدا شده و به روش کوماسی بلو G250 رنگ‌آمیزی گردید. همه مراحل مربوط به الکتروفورز دوبعدی و جداسازی اسپات‌های مورد نظر در آزمایشگاه مجهز و مخصوص مرکز ملی زیست فناوری و مهندسی رئیسیک ایران انجام گرفت.

از نرم‌افزار SPSS برای مطالعه آماری داده‌های MTT برای مقایسه اختلاف معنی‌دار بین گروه‌ها (غلظت) از لحاظ OD در سطح احتمال کمتر از ۱٪ از آزمون LSR استفاده شد. بررسی ارجحیت غلظت‌ها از لحاظ OD توسط آزمون دانکن مورد بررسی قرار گرفت. و از معادله‌ی رگرسیون جهت تعیین درصد خطی بودن نمودار و میزان R² استفاده شد. برای انتایلز نتایج الکتروفورز دوبعدی از نرم‌افزار Melani استفاده شد. اسپات‌های افتراقی باوسیله MALDI TOF TOF MS مورد شناسایی قرار گرفت و با استفاده از MASSCOT میزان همخوانی بررسی شد.

یافته‌ها

بر اساس نتایج آزمون زنده‌مانی به روش MTT، تجزیه واریانس برای غلظت‌های متفاوت اولئوروپین (۱۹, ۳۹, ۷۸, ۶۲۵, ۳۱۲, ۱۲۵۰, ۶۲۵ و 2500 ppm) پس از ۲۴ ساعت از لحاظ کنترل رشد سلول‌های LNCap نشان داد که بین غلظت‌های



(حرروف نامشابه نشانگر اختلاف معنی‌دار در سطح احتمال ۰/۵٪)

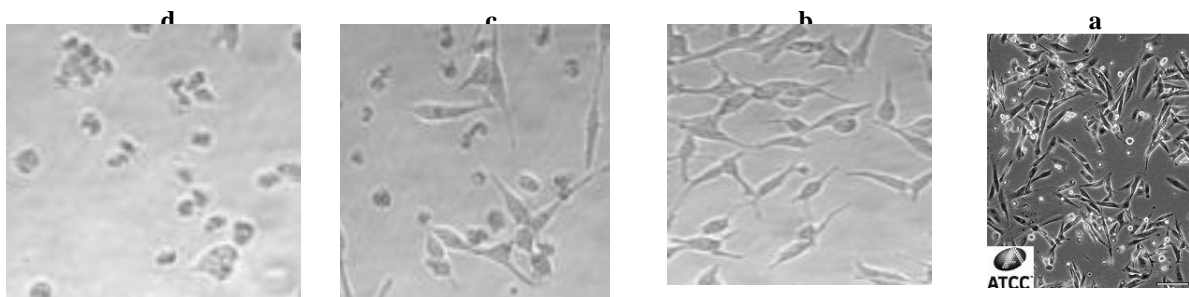
شکل ۱: نتایج مقایسه میانگین میزان کنترل رشد سلول‌های سرطانی در غلظت‌های متفاوت اولئوروپین پس از ۲۴ ساعت اعمال تیمار به روش دانکن در سطح احتمال ۰/۵٪

طریق آزمون T-تست مورد مقایسه قرار گرفت. پس از جستجوی نقاط توسط نرمافزار و حذف برخی خطاها موجود در انتخاب اسپات‌ها تعداد ۸۹ اسپات شناسایی شد که ۳۶ مورد مربوط به نمونه شماره ۱ (نمونه شاهد که اعمال تیمار اولئوروپین بر روی آن صورت نگرفته بود) و ۵۳ مورد مربوط به نمونه شماره ۲ (نمونه تیمار شده با دوز ۶۲۵ ppm اولئوروپین) بود. لازم به ذکر است که محدوده گسترش اسپات‌ها در یک طرف ژل بیشتر بود که این منطقه در محدوده $Pi = 4/5 - 4$ واقع شده است. مطالعه و مقایسه اسپات‌ها میان دو نمونه شاهد و نمونه تیمار شده با اولئوروپین وجود پروتئین‌هایی با بیان متفاوت را نشان داد.

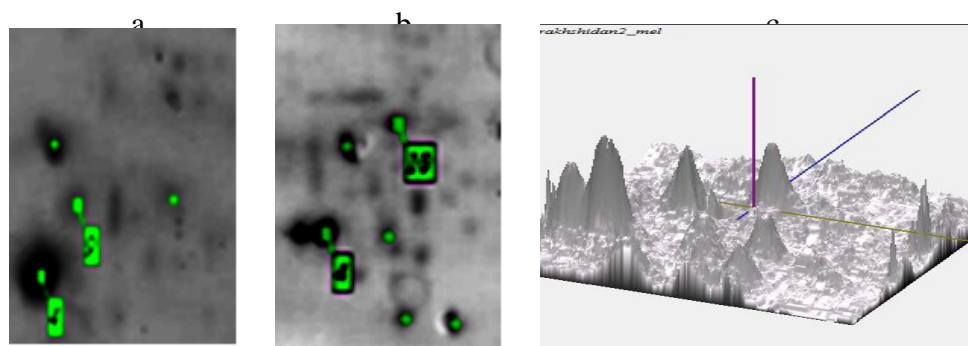
از میان اسپات‌ها اسپات شماره ۱۰ با بیان بالا در نمونه تیمار شده و عدم بیان در نمونه شاهد مشاهده گردید (شکل ۳). در هم‌ردیغی ms حاصل از ms مالدی تاف $Score = 130 \pm 4$ با $P < 0.05$ پروتئین *GSTPI_HUMAN* شناسایی شد. این پروتئین یک پروتئین انسانی است که آن $pI = 5.43$ و وزن مولکولی آن ۲۳۵۶۹ برآورد شده است. میزان همچوانی آن از نظر سکوئنس $\% 61$ بود. این پروتئین در حالت تیمار با ۶۰۰ ppm اولئوروپین بیان بالای نسبت به نمونه شاهد داشت و در شاهد بیان نشده بود.

تصاویر میکروسکوپی "invert" در شرایط نرمال و نیز غلاظت‌های مختلف تیمار اولئوروپین (شکل ۲) درج شده است. در حالت نرمال محیط کشت، شکل سلول‌ها (شکل ۲b) کاملاً شبیه سل‌لاین LNcap استاندارد متشر شده توسعه سایت آمریکایی ATCC بوده (شکل ۲a) و اشکال سلول‌ها گوشیدار و زاویهدار بوده است. با اعمال تیمارها ضمن کنترل رشد سلول‌های سرطانی پس از ۲۴ ساعت، اشکال سلول‌ها به صورت گرد تمایل شده و القای آپوپتوز در آن‌ها نشان دهنده تیمار نشده و مقایسه مربوطه است با توجه به مشاهده سلول‌های سرطانی افزایش مورفوژوژی آن‌ها با سلول‌های تیمار شده تفاوت موفولژی قابل رویت می‌باشد (شکل ۲c)، با افزایش غلاظت اولئوروپین افزایش القای اپاپتوزیس در سلول‌ها بیشتر شده (شکل ۲d)، کاهش حجم، متراکم شدن و تغییر شکل دیواره قابل مشاهده است.

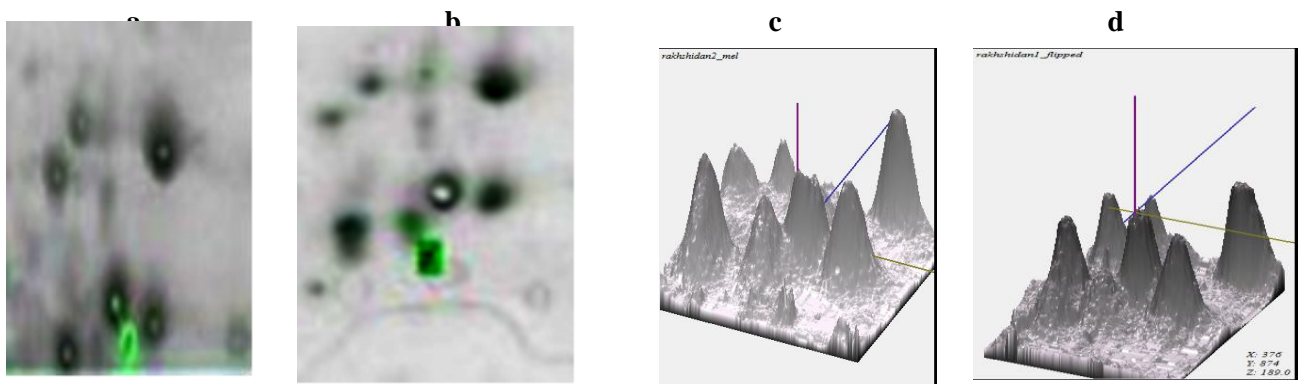
الکتروفورز دوبعدی در چهار سطح از غلاظت تیمار اولئوروپین انجام شد. این ژل‌ها با استفاده از دستگاه GS-800 Calibrated اسکن شدند. سپس از مقایسه تصاویر بدست آمده، میانگین مساحت اسپات به عنوان شاخص بیان پروتئین‌ها در دو نمونه با استفاده از نرم‌افزار Melani محاسبه و از



شکل ۲: سلول‌های سرطانی LNcap در حالت استاندارد (a) و بدون اعمال اولئوروپین (b)، اعمال ۲۰۰ ppm اولئوروپین (c) و اعمال ۶۲۵ ppm اولئوروپین (d)



شکل ۳: اسپات (GSTPI_HUMAN) ۱۰ در ژل الکتروفورز دوبعدی از نمونه تیمار شده با اولئوروپین b و شاهد a و نحوه بیان سه‌بعدی آن c



شکل ۴- اسپات ۳ (DNMT1_HUMAN) در ژل الکتروفورز ۲بعدی از نمونه تیمار شده با اولثوروپین **a** و شاهد **b** و نحوه بیان سه بعدی ان **c** در تیمار شده و نحوه بیان سه بعدی ان **d** در تیمار نشده

روی سلول های MCF-7 با بیش بیانی Her2، بقای سلول سرطان سینه را کاهش می دهد. اولثوروپین تکثیر سلولی آدنو کارسینومای سینه انسان (MCF7)، کارسینومای مثانه و اندوتیال مویرگی مغز گاوی را مهار می کنند (۱۰-۱۴). همچنین Kimura نشان داد تاثیرات پیشگیرانه ای عصاره ای برگ زیتون و اولثوروپین روی آسیب پوستی مزمون ناشی از UV و سرطان و رشد تومور ممکن است موجب مهار بیان MMP-9، MMP-2، VEGF، COX-2 گردد (۱۷). در مطالعه حاضر، الکتروفورز دو بعدی، وجود اسپات های پروتئینی متفاوتی را در دو نمونه فاقد تیمار و پس از اعمال تیمار اولثوروپین، نشان می دهد. بیان برخی از پروتئین ها پس از اعمال تیمار اولثوروپین افزایش پیدا کرده و بیان برخی از پروتئین ها پس از اعمال تیمار کاهش پیدا کرده است. این امر نشانگر این است که اولثوروپین با مکانیسم های متفاوتی بیان برخی ژن ها را تحت تاثیر قرار می دهد و این تغییر سلول های سرطانی پروستات را در جهت القاء آپوپتوز یا در جهت نرمال شدن سلول های سرطانی پیش می برد. اسپات های پروتئینی شناسایی شده به وسیله الکتروفورز دو بعدی در رد سلولی سرطانی پروستات LNCap که در اثر اعمال تیمار اولثوروپین متفاوت بودند. مطالعه و مقایسه اسپات ها میان دو نمونه شاهد و نمونه تیمار شده با اولثوروپین وجود پروتئین هایی با بیان متفاوت را نشان داد. از میان این اسپات ها، اسپات های شماره ۱۰ نسبت به نمونه شاهد Up-regulated و اسپات پروتئینی شماره ۳، Down-Regulated که در نمونه تیمار شده نسبت به نمونه شاهد ماده از Maldi Tof Tof اسپات شده بود. با توجه به نتایج به دست آمده از شماره ۱۰ GSTP1 شناسایی شد. این ژن در نمونه تحت تیمار قرار گرفته با اولثوروپین نسبت به نمونه شاهد Up-regulated شده در حالی که در نمونه شاهد که سلول های سرطانی بدون تیمار با ماده اولثوروپین بود، بیان نشده بود. به نظر می آید که اولثوروپین سبب بیان این ژن شده است، آنزیم گلو تاتیون-امن ترانسفراز خانواده بزرگی از آنزیم های فاز دو می باشد (با جرم مولکولی 23-30 KD)

اسپات پروتئینی شماره ۳ در نمونه تیمار شده با اولثوروپین نسبت به نمونه شاهد Down-regulated شده بود (شکل ۴). در align ms حاصل از ms مالدی تاف تاف، این پروتئین با $P < 0.05$ با احتمال $Score = 171$ شناسایی شد. این پروتئین یک پروتئین انسانی است که آن pI ۷/۹۹ و وزن مولکولی آن ۱۸۵۳۸۸ براورد شده است. میزان همخوانی آن از نظر سکونتس 50% بود. این پروتئین در حالت تیمار با اولثوروپین نسبت به نمونه شاهد کاهش بیان داشت. به نظر می رسد که اولثوروپین باعث کاهش بیان این پروتئین شده است.

بحث

طبق نتایج آزمون MTT، اولثوروپین توانسته به میزان $1/99$ رشد سلول های سرطانی را کنترل نماید. به طوری که موثرترین غلاظت کنترلی اولثوروپین $625 \mu\text{g}/\text{ml}$ بود، هرچند که با غلاظت $2500 \mu\text{g}/\text{ml}$ تفاوت چندانی نداشته است. اولثوروپین حتی در غلاظت بسیار کم $19 \mu\text{g}/\text{ml}$ نیز توانسته اثر مهاری خود را به میزان 98% در محیط in vitro اعمال کند. اولثوروپین این کنترل رشد سلول های سرطانی را، از طریق افزایش و یا کاهش بیان برخی از ژن ها انجام می دهد. نتایج مطالعه حاضر با نتایج مطالعات محققان دیگر همخوانی داشت. در مطالعه مشابه دیگری اثر بازدارندگی اولثوروپین بر روی رده سلولی سرطان سینه MCF7 به اثبات رسیده است (۱۱) و Menendez Hassan Menendez گزارش نمودند، اولثوروپین سبب کاهش بیان انکوژن Her2 می شود که در ایجاد بدخیمی نقش دارد (۱۲، ۱۳) و نیز به دلیل عدم وجود یا وجود تاثیرات سمی بسیار کم و دسترسی زیستی خوب آن، چندین مرحله از پیشرفت سرطان را مورد هدف قرار می دهد (۱۰). این نتیجه می تواند ناشی از اثر القای اپاپتوتیک اولثوروپین بر سلول های سرطانی پروستات باشد. Hanrahan Menendez و Goulas نشان دادند که اولثوروپین قوی ترین ترکیب فنولی است که با تاثیرات توموریدیکال (انهدام سلول های سرطانی) قوی بر

کاهش بیان ژن DNMT1 امکان متیل‌گذاری کاهش یافته و احتمالاً ژن‌های سایلنس شده مجدداً بیان خواهد شد. نتایج به دست آمده از مطالعه ما نیز این مسئله را تایید می‌کند. کاهش بیان DNMT1 در نتایج حاصل از مطالعات ما نشان می‌دهد که امکان متیل‌گذاری بر روی سیتوزین جزایر CpG در تقسیم‌های بعدی کاهش می‌باید و امکان برگشت ژن‌های خاموش شده از طریق متیلاسیون وجود دارد، بطوریکه ژن خاموش شده GST که متیله شدن آن مارکر سرطان پروستات می‌باشد پس از اعمال ۲۴ ساعت اولئوروپین بطور معنی دار افزایش بیان نشان داده است و این دلیلی بر ادعای فوق است.

نتیجه‌گیری

بر اساس نتایج مطالعه حاضر، اولئوروپین در سلول‌های سرطانی LNCap پروستات باعث مهار آن شده است. این مهار در مسیرهای القاء آپوپتوز و نیز کاهش متاباستاز صورت گرفته است. همچنین مصرف اولئوروپین و مطالعه تاثیر آن در پروتئین‌های بیانی از طریق آنالیز پروتئومیکس دو بعدی نشان داد که بیان پروتئین GSTP1 در اثر مصرف اولئوروپین نسبت به نمونه شاهد افزایش و بیان پروتئین DNMT1 در اثر مصرف اولئوروپین نسبت به نمونه شاهد کاهش یافته است، که توجیه کننده مکانیسم‌های مهاری تاثیر بر مراحل سرطان، استرس اکسیداتیو، تغییر وضعیت هورمونی، اصلاح مسیرهای انتقال سیگنال‌دهی سلولی، تنظیم بیان ژن از طریق هیپرمیلاسیون و هیپومیلاسیون و نفوذ در سیستم ایمنی می‌باشد.

قدرتدانی

این مقاله نتیجه پایان‌نامه کارشناسی ارشد خانم زهرا رخشیدن به شماره ۰۵۰۲۹۴۱۰۱۰ می‌باشد. بدین‌وسیله از خدمات مسئولین آزمایشگاه ژنتیک مولکولی دانشگاه آزاد اسلامی اردبیل خانم مریم اسماعیل‌زاده و حسینعلی شیخی به خاطر همکاری در اجرای پروژه و خانم یاسمین پهلوان دانشجوی دکتری پژوهشکاری مولکولی بابت ویراستاری علمی مقاله حاضر، نهایت سپاس‌گزاری را داریم.

ملاحظات اخلاقی

ملاحظات اخلاقی شامل نمی‌شود.

منابع مالی

منابع مالی ندارد.

منافع متقابل

منافع متقابلی از تالیف یا انتشار این مقاله وجود ندارد.

مشارکت مؤلفان

زر، م، ض و ب، پ: طراحی، اجرا و تحلیل نتایج مطالعه را بر عهده داشت. هر سه نویسنده مقاله را تالیف نموده و نسخه نهایی آن را خوانده و تایید کرده‌اند.

که در سمت زدایی ترکیبات خارجی زیستی نقش دارد. ژن GST به شش دسته شامل ایزوفرم‌های آلفا-مو-پی-تا-سیگما و زتا تقسیم می‌شود. اگرچه پلی‌مورفیسم لوکوس در هر شش کلاس ژن‌های خانواده GST شناسایی شده است، اما بیشترین پلی‌مورفیسم‌ها در لوکوس ژن‌های GSTT1 و GSTM1 به ترتیب روی کروموزم ۲۲ و ۱ قرار دارند، متumerکز شده است. ژن‌های کلاس GSTM به GSTM5 GSTM1 تا GSTP1 در ناحیه کروموزم ۱ قرار گرفته‌اند (۲۶). محققان در پژوهشی که در مورد تاثیر لیکوپین بر روی رده سلولی سرطانی پروستات گزارش کردند که در میان گلوتاتیون اس‌ترانسفرازها نوع GSTO1 و GSTP1 دچار تنظیم افزایشی شدند (۱۸).

نتایج بدست آمده از Maldi Tof Tof در مطالعه نشان داد که بیان نسبی ژن DNMT1 که مربوط به اسپات شماره ۳ بود در نمونه شاهد، نسبت به سلول سرطانی با اعمال تیمار افزایش داشته است، این ژن در سل‌لاین سرطانی پروستات در تیمار با اولئوروپین مهار شده است. متیلاسیون DNA شناخته شده‌ترین مارکر ابی‌ژنتیک به شمار می‌رود (۱۹). متیلاسیون DNA (DNMTS) توسط خانواده‌ای از آنزیم‌ها به نام میتیل‌ترانسفرازها (DNMTS) و با استفاده از S-آدنوزیل‌متیونین (SAM)، به عنوان کوسوبسترا انجام می‌پذیرد. در این فرآیند SAM عموماً به عنوان دهنده گروه متیل نقش ایفاء می‌نماید، چراکه این ترکیب از نظر شیمیایی دارای گروه‌های متیل مناسب برای متیلاسیون RNA DNA، هیستون‌ها، ناقلين عصی، فسفولیپیدهای غشائی، پروتئین‌ها و مولکول‌های کوچک متعدد می‌باشد (۲۰). ژن DNMT1 بر روی کروموزم ۱۹ انسان قرار دارد. نقش این ژن استقرار و تنظیم الگوهای بافت خاصی از سیتوزین است. الگوی متیلاسیون نابجا با برخی از تومورهای انسانی و توسعه اختلال‌ها مرتبط است (۲۱-۲۲). بررسی اثرات ابی‌ژنتیکی اولئوروپین بر روی ژن DMNT1 نشان می‌دهد که پس از تعیین غلظت مناسب اولئوروپین برای تیمار رده‌های سلولی LNCap و مقایسه میزان بیان ژن DMNT1 با نمونه‌های فاقد تیمار می‌توان گفت که اولئوروپین خاصیت مهارکنندگی DMNT1 را با ایجاد هیپو‌متیلاسیون جزایر CPG در پرومотор این ژن انجام می‌دهد و سبب احیای بیان ژن‌های سرکوبگر توموری که حین سرطانزایی خاموش شده‌اند، می‌شود. این یافته با یافته‌های محققان دیگر همخوانی دارد (۱۲ و ۱۳).

در مطالعه قبلی ما (۱۹) پژوهشی درمورد نقش اولئوروپین در بیان ژن DNA متیل‌ترانسفراز در رده سلولی سرطانی پروستات انجام دادیم. در این پژوهش غلظت‌های مختلف نانو اولئوروپین برروی میزان بیان ژن DNMT1 با استفاده از روش Real time PCR بررسی گردید. نتایج نشان داد که بیان نسبی ژن DNMT1 با اعمال تیمار ۳۰ ppm نانو‌اولئوروپین در رده سلولی سرطانی پروستات به طور معنی دار کاهش یافته بود. بدیهی است که با

References

1. Hee Lee C, Jin Jeong S, Sun-Mi Y, JiHyun K, HyoJung L, Kwang Seok A, et al. Down-regulation of phosphoglucomutase 3 mediates sulforaphane-induced cell death in LNCaP prostate cancer cells. *Proteome Science* 2010; **8**: 67-75. doi: 10.1186/1477-5956-8-67.
2. Yaşam B, Orhan D, Meltem Ç, SenemCeren K, Abdurrahman Mithat, Bozdayand Fulya Yücesan. Effect of Turkish propolis extracts on proteome of prostate cancer cell line. *Proteome Science* 2011; **9**: 74-85. doi: 10.1186/1477-5956-9-74
3. Chan J M, Stampfer M J, Ma J, Gann PH, Gaziano J M, Giovannucci E L. Dairy products, calcium, and prostate cancer risk in the Physicians' Health Study. *Am J Clin Nutr* 2001; **74**: 549-554. doi: 10.1093/ajcn/74.4.549
4. Armstrong B, Doll R. Environmental factors and cancer incidence and mortality in different countries, with special reference to dietary practices. *Int J Cancer* 1975; **15**: 617-631. doi: 10.1002/ijc.2910150411
5. Lippman S M, Goodman P J, Klein E A, Parnes H L, Thompson I M. Designing the Selenium and Vitamin E Cancer Prevention Trial (select). *J Natl Cancer Inst* 2005; **97**: 94-102.
6. Aparicio Gallego G, Díaz Prado S, Jiménez Fonseca P, García Campelo R, Cassinello Espinosa J, Antón Aparicio L.M. Review: Green Tea Polyphenols in Chemoprevention of Prostate Cancer: Preclinical and Clinical Studies. *Clin Transl Oncol* 2007; **9**(11): 694-702. doi: 10.1007/s12094-007-0126-0
7. Venter J C, Adams M D, Myers E W, Li PW, Mural R J, Sutton G G. The sequence of the human genome. *Science* 2001; **291**(5507): 1304-1351. doi: 10.1016/s0036-8939(01)01077-7
8. Zamanian-Azodi M, Rezaie-Tavirani M, Heydari-Kashal S, Kalantari S, Dailian S, Zali H. Proteomics analysis of MKN45 cell line before and after treatment with Lavender aqueous extract. *Gastroenterology Hepatol Bed Bench* 2011; **5**: 42-51.
9. Rozek W, Ciborowski P S. Proteomics and Genomics. *Neuroimmune Pharmacology*, Springer 2008; **2**: 725-741.
10. Pooladi M, Sobhi S, Khaghani R A, Hashemi M, Moradi A, Zali A R. The Investigation of Heat Shock Protein (HSP70) Expression Change in Human Brain Astrocytoma Tumor. *Iran J Cancer Prevent* 2013; **6**: 6-11.
11. Hashemi M, Eskandari-Nasab E, Fazaeli A, Taheri M, Rezaei H, Mashhadri M. Association between polymorphisms of glutathione S-transferase genes (*GSTM1*, *GSTP1* and *GSTT1*) and breast cancer risk in a sample Iranian population. *Biomarkers in medicine* 2012. doi: 10.2217/bmm.12.61
12. Hassan Z K, Elamin M H, Daghestani M H, Omer S A, Al-Olayan E M, Elobeid M A. Oleuropein induces anti-metastatic effects in breast cancer. *Asian Pacific Journal of Cancer Prevention* 2012; **13**(9): 4555-4559. doi: 10.7314/apjcp.2012.13.9.4555
13. Menendez J A, Vazquez-Martin A, Colomer R, Brunet J, Carrasco-Pancorbo A, GarciaV. TabAnti-HER2 (erbB-2) oncogene effects of phenolic compounds directly isolated from commercial Extra-Virgin Olive Oil (EVOO). *BMC Cancer* 2008; **8**: 377. doi: 10.1186/1471-2407-8-377
14. Menendez J A, Vazquez-Martin A, Oliveras-Ferraro C, Garcia-Villalba R, Carrasco-Pancorbo A, Fernandez-Gutierrez A, et al. Extra-virgin olive oil polyphenols inhibit HER2 (erbB-2)-induced malignant transformation in human breast epithelial cells: relationship between the chemical structures of extra-virgin olive oil secoiridoids and lignans and their inhibitory activities on the tyrosine kinase activity of HER2. *International journal of oncology* 2009; **34**(1): 43-51. doi: 10.3892/ijo_00000127
15. Menendez J A, Vazquez-Martin A, Colomer R, Brunet J, Carrasco-Pancorbo A, Garcia-Villalba R. Olive oil's bitter principle reverses acquired autoresistance to trastuzumab (Herceptin™) in HER2-overexpressing breast cancer cells. *BMC Cancer* 2007; **7**: 80. doi: 10.1186/1471-2407-7-80
16. Hanrahan K, O'Neill A, Principe M, Bugler J, Murphy L, Fabre A, et al. The role of epithelial-mesenchymal transition drivers ZEB1 and ZEB2 in mediating docetaxel-resistant prostate cancer. *Mol Oncol* 2016; **6**: 120-131. doi: 10.1002/1878-0261.12030
17. Goulas V, Exarchou V, Troganis A N, Psomiadou E, Fotsis T, Briassoulis E, et al. Phytochemicals in olive-leaf extracts and their antiproliferative activity against cancer and endothelial Cells. *Mol Nutr Food Res* 2009; **53**: 600-608 doi: 10.1002/mnfr.200800204
18. Kimura Y, Sumiyoshi M. Olive leaf extract and its main component oleuropein prevent chronic ultraviolet B radiation-induced skin damage and carcinogenesis in hairless mice. *J Nutr* 2009; **139**: 2079-2086. doi: 10.3945/jn.109.104992
19. Dehgani M, Vahidi S, Hagirossadat B B, Shargoddini M, Sheykha M. Examination the frequency distribution of GST1 genes deletion in varicocele men and its relation with sperm parameters. *Yazd Shahid Sadooghi Medical Unive* 2011; **2**(3): 350-360. (Persian)
20. Xi Qiu, Yang Y, Avani V, Michael A. Effects of Lycopene on Protein Expression in Human Primary Prostatic Epithelial Cells. *Cancer Prev Res* 2013; **6**: 419-446. doi: 10.1158/1940-6207.capr-12-0364
21. Zaefi Zadeh M, Alivand M, Mohammad Ganji Sh. Investigation of Methyl withdraws probability from silenced genes promoter region through prostate cancer element by means of olive Oleoresin. Ardebil Azad Unive. *Investigation assistance area* 2013; **8**: 25-31. (Persian)
22. Zamani M. [Polymeric Nonocorcomin effects on long non-coding RNA expression of MEG3, miR-29a and miR-185 genes in human cancer cell lines]. *Tarbiat modarres unive* 2011. (Persian)